

1600, 1500  $\text{cm}^{-1}$  – смуги коливання бензольного ядра, 1092, 1016  $\text{cm}^{-1}$  ( $\delta$  C-H)<sub>пл.</sub>, 844, 816  $\text{cm}^{-1}$  ( $\delta$  C-H)<sub>непл.</sub>. У спектрі  $\alpha, \alpha$ -дифенілвмісного пероксиду (5) проявляються смуги поглинання монозаміщеного ядра при 3030  $\text{cm}^{-1}$  ( $\nu$  C-H), 1600, 1500, 1450  $\text{cm}^{-1}$  – коливання бензенового ядра), 750 та 700  $\text{cm}^{-1}$  ( $\delta$  C-H)<sub>непл.</sub>, а також всі смуги, характерні для поглинання галактопіранозного кільця і пероксидної групи – 940 ( $\delta$  C-O-O-C) та 1200  $\text{cm}^{-1}$  ( $\nu$  C-O). Водночас на відміну від пероксималеїнату, відсутнє поглинання естерного та подвійного зв'язку.

**Висновки.** Розшифровано ІЧ спектри ряду функціональних похідних  $\alpha$ -D-галактози і знайдено смуги поглинання, які можуть бути використані для їх ідентифікації у реакційних сумішах та на поверхнях.

1. Basinska T. *Hydrophylic Core-Shell Microspheres: A Suitable Support for Controlled Attachment of Proteins and Biomedical Diagnostics*. *Macromol Boiscюю* 2005.-P.1145-1168. 2 Tirrelli M., Kokkoli E., Biesalski M. *The role of surface science in bioengineered materials*. *Surface Science* 2002, V. 500. – P. 61–83. 3. Дончак В.А., Гаргай Х.І., Воронов С.А., Хряков В.С. Пероксидні макроініціатори на основі полісахаридів для синтезу біодеградабельних полімерів // ДАН України, 2000. – №6. – С. 148–152. 4 Полісахариди з пероксидованою поверхнею – новий тип наповнювачів для полімерів // Збір. тез доп. III наук.-техн. конф. “Поступ в нафтогазопереробній та нафтохімічній промисловості”. – Львів: Нац. ун-т “Львівська політехніка”. – 2004. – С. 132–133. 5. Гаттерман Л., Виланд Г. *Практические работы по органической химии*. 6. *Методы химии углеводов / Под ред. Н.К. Кочеткова*. – М.: Мир, 1967. 7. Schmid H., Karrer P., *Helv. Chim. Acta*, 32, 1371 (1949). 8. Синтез пероксиалкілпохідних галактози // Збір. тез доп. VII Всеукр. конф. студ. та аспір. “Сучасні проблеми хімії” – К., – 2006. – 82 с. 9. Панов В.П., Жбанков Р.Г. *Конформации сахаров (физические методы исследования)*. – Минск: Наука и техника, 1975. – 216 с. 10 Дехант И. *Инфракрасная спектроскопия полимеров*. – М.: Химия, 1972. – 394 с. 11. Карякин А.В., Никитин В.А. *Инфракрасные спектры поглощения органических перекисей и их обнаружение при фотоокислении* // Изв. АН СССР. Сер. физ. – 1953. – Т.17. – №5. – С. 636–643.

УДК 547.525-39

Н.І. Кінаш, В.В. Кочубей, З.Я. Надашкевич  
Національний університет “Львівська політехніка”,  
кафедра органічної хімії

## ДОСЛІДЖЕННЯ ТЕРМІЧНОЇ СТІЙКОСТІ ФУНКЦІОНАЛЬНИХ ДИТРЕТИННИХ АРАЛКІЛЬНИХ ПЕРОКСИДІВ

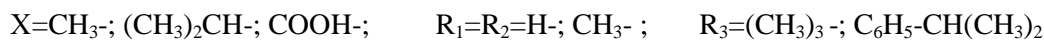
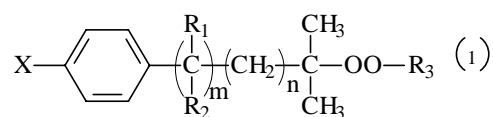
© Кінаш Н.І., Кочубей В.В., Надашкевич З.Я., 2007

**Методом комплексного термогравіметричного аналізу визначено термічну стійкість 8 функціональних аралкільних пероксидів з різною віддаленістю пероксидної групи від бензольного ядра та розраховані кінетичні параметри розкладу.**

**Thermal stability of 8 functional peroxides with different of peroxide group to benzene ring were determined by the method of complex thermal analysis. Kinetics parameters of decomposition was calculated.**

**Постановка проблеми та її зв'язок з важливими науковими завданнями.** Третинні аралалкільні пероксиди є одним з основних типів промислових ініціаторів, що характеризуються високою термічною стійкістю та ефективністю у вільно-радикальних процесах (прищеплювальна

кополімеризація, структурування, вулканізація тощо). У попередніх роботах [1–4] нами були синтезовані функціональні аралкільні дитретинні пероксиди формули (1) з різною віддаленістю пероксидної групи від бензольного ядра, які є новим типом пероксидних сполук.



Однією з найважливіших характеристик, що визначає можливість використання таких пероксидів у процесах ініціювання, є швидкість їх розкладу. У межах цього класу пероксидів, відмінність реакційної здатності визначається впливом функціонального замісника. Дослідження взаємозв'язку будови з реакційною здатністю має важливе теоретичне та практичне значення для визначення оптимальних умов застосування цих пероксидів та цілеспрямованого синтезу пероксидів з прогнозованими параметрами термолізу.

**Аналіз останніх досліджень та публікацій.** Аналіз останніх літературних джерел показав, що поєднання фізико-хімічних властивостей та реакційної здатності пероксидних сполук (розчинність, температурний діапазон генерування радикалів тощо) здебільшого обмежує можливість їх використання. У роботах [1–4], де йдеться про  $\alpha$ -,  $\beta$ -,  $\gamma$ -функціональні аралкільні дитретинні пероксиди, описано синтез та фізико-хімічні властивості, але практично відсутні дані з дослідження їх реакційної здатності, зокрема, термічної стійкості та можливостей практичного застосування.

**Мета роботи.** Вивчення термічної стійкості  $\alpha$ -,  $\beta$ -,  $\gamma$ -дитретинних функціональних аралкільних пероксидів методом диференційно-термічного та термогравіметричного методів аналізу.

**Результати досліджень та їх обговорення.** Одним з найефективніших сучасних методів дослідження реакційної здатності О-О зв'язку є термогравіметричний та диференційно-термічний методи аналізу [5,6]. На основі сукупного розгляду дериватографічних кривих можна детально встановити фізичні та хімічні перетворення, що відбуваються в досліджуваних пероксидах, а математичною обробкою кривих ТГ та ДТГ розрахувати кінетичні параметри процесу розкладу: енергію активації, порядок реакції та константи швидкості розкладу.

Термічну стійкість зразків дитретинних аралкільних пероксидів досліджували на дериватографі Q-1500 системи "Паулік-Паулік Ердей" у динамічному режимі, зі швидкістю нагрівання 1,25°C/хв в атмосфері повітря. Маса зразків становила 200 мг. Чутливість за шкалою диференційно-термічного аналізу (ДТА) – 100 мкВ, за термогравіметричною шкалою (ТГ) – 200 мг, за диференційною термогравіметричною шкалою (ДТГ) – 500 мкВ. Еталонною речовиною слугував оксид алюмінію. Розрахунок параметрів здійснювали за методикою [1,2] із застосуванням програмного пакета Mathcad 2001 Professional на базі модифікованого кінетичного рівняння в комплексі з методом найменших квадратів.

$$\frac{dW}{W_k dt} = \ln \frac{z}{q} - \frac{E}{R_T} + n \ln \left( 1 - \frac{W}{W_k} \right)$$

де  $W$  – втрата маси зразка за температури  $T$ , визначена за кривою ТГ;  $W_k$  – загальна втрата маси зразка на цій стадії, мг;  $T$  – абсолютна температура, К;  $E$  – енергія активації, кДж/моль;  $n$  – порядок реакції;  $Z$  – передекспотенціальний множник;  $q$  – швидкість нагрівання зразка, град/с.

Інтенсивна втрата маси зразків за рахунок деструкції пероксидного зв'язку спостерігається в температурному інтервалі 115–195°C. Цей процес супроводжується яскраво вираженим екзотремичним ефектом на кривих ДТА. За даними термогравіметричного аналізу в області інтенсивної втрати маси зразків розраховані кінетичні параметри термодеструкції пероксидів, які наведені в таблиці.

### Кінетичні параметри термічного розкладу пероксидних сполук

№ сполуки	Формула пероксиду, де n, m = ; X-; R <sub>1</sub> -; R <sub>2</sub> -; R <sub>3</sub> -:	Темп. інтервал деструкції, °С	E, кДж	Z	n	k <sub>сеп</sub> ·10 <sup>3</sup>	Δm, %
1	α- n=m=0; X-CH <sub>3</sub> ; R <sub>3</sub> -C(CH <sub>3</sub> ) <sub>3</sub> -;	119-195	175	0,149·10 <sup>20</sup> с <sup>-1</sup>	2,22	6,53 10 <sup>-3</sup> (с <sup>-1</sup> )	61,9
2	α- n=m=0; X-COON; R <sub>3</sub> -C(CH <sub>3</sub> ) <sub>3</sub> -;	126-186	194	0,142·10 <sup>22</sup> с <sup>-1</sup>	2,14	2,99 10 <sup>-3</sup> (с <sup>-1</sup> )	36,0
3	α- n=m=0; X-(CH <sub>3</sub> ) <sub>2</sub> CH-; R <sub>3</sub> -C <sub>6</sub> H <sub>5</sub> -(CH <sub>3</sub> ) <sub>2</sub> CH-;	126-182	146	0,097·10 <sup>16</sup> с <sup>-1</sup>	1,70	1,47 10 <sup>-3</sup> (с <sup>-1</sup> )	32,1
4	β- n=1; m=0; X-H; R <sub>3</sub> -C(CH <sub>3</sub> ) <sub>3</sub> -;	115-183	169	0,032·10 <sup>20</sup> с <sup>-1</sup>	1,6	7,56 10 <sup>-3</sup> (с <sup>-1</sup> )	76,1
5	β- n=1; m=0; X-(CH <sub>3</sub> ) <sub>2</sub> CH-; R <sub>3</sub> -C <sub>6</sub> H <sub>5</sub> -(CH <sub>3</sub> ) <sub>2</sub> CH-;	123-188	202	0,114·10 <sup>23</sup> с <sup>-1</sup>	2,13	2,53 10 <sup>-3</sup> (с <sup>-1</sup> )	62,4
6	γ- n=m=1; X=R <sub>1</sub> =R <sub>2</sub> -H-; R <sub>3</sub> -C(CH <sub>3</sub> ) <sub>3</sub> -;	121-191	180	0,029·10 <sup>21</sup> с <sup>-1</sup>	1,73	3,12 10 <sup>-3</sup> (с <sup>-1</sup> )	71,6
7	γ- n=m=1; X-H; R <sub>1</sub> -H; R <sub>2</sub> -CH <sub>3</sub> -; R <sub>3</sub> -C(CH <sub>3</sub> ) <sub>3</sub> -;	121-188	170	0,018·10 <sup>20</sup> с <sup>-1</sup>	1,57	3,22 10 <sup>-3</sup> (с <sup>-1</sup> )	68,0
8	γ- n=m=1; X-CH <sub>3</sub> ; R <sub>1</sub> =R <sub>2</sub> -CH <sub>3</sub> -; R <sub>3</sub> -C(CH <sub>3</sub> ) <sub>3</sub> -;	118-184	180	0,036·10 <sup>21</sup> с <sup>-1</sup>	1,85	3,87 10 <sup>-3</sup> (с <sup>-1</sup> )	59,8

Як видно з одержаних даних, під час порівняння трьох зразків дитретинних функціональних аралкільних пероксидів (1,4,6) з різною віддаленістю пероксидної групи від бензольного ядра, найбільш термічно стійким є γ-пероксид (6). Температура початку розкладу цього пероксиду зміщена в область вищих температур, він має найбільше значення ефективної E і найменше значення ефективної константи розкладу (див. таблицю). Згідно з даними ТГ (рис. 1) цей зразок характеризується найменш інтенсивною втратою маси. β-Пероксид (2) має найменшу термічну стійкість, що підтверджується найменшим значенням E та найбільш інтенсивною втратою маси на кривій ТГ (рис. 1). Температурний інтервал деструкції цього пероксиду зміщений в область нижчих температур. У межах цього класу пероксидів, істотний вплив на швидкість термічного розкладу, а отже, і на реакційну здатність, має алкільний замісник в бензольному ядрі лише для α-пероксиду, що пояснюється можливістю додаткової стабілізації інтермедіатів внаслідок розпаду пероксидної групи.

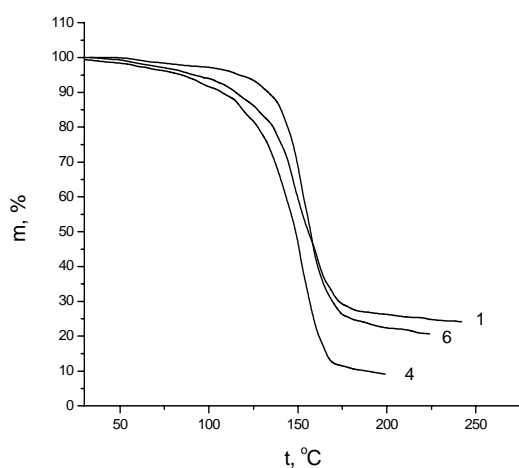


Рис. 1. Термогравіметричні криві (ТГ) зразків  
 1 – CH<sub>3</sub>C<sub>6</sub>H<sub>5</sub>C(CH<sub>3</sub>)<sub>2</sub>-OO-C(CH<sub>3</sub>)<sub>3</sub>  
 4 – C<sub>6</sub>H<sub>5</sub>-CH<sub>2</sub>-C(CH<sub>3</sub>)<sub>2</sub>-OO-C(CH<sub>3</sub>)<sub>3</sub>  
 6 – C<sub>6</sub>H<sub>5</sub>-CH<sub>2</sub>-CH<sub>2</sub>-C(CH<sub>3</sub>)<sub>2</sub>-OO-C(CH<sub>3</sub>)<sub>3</sub>

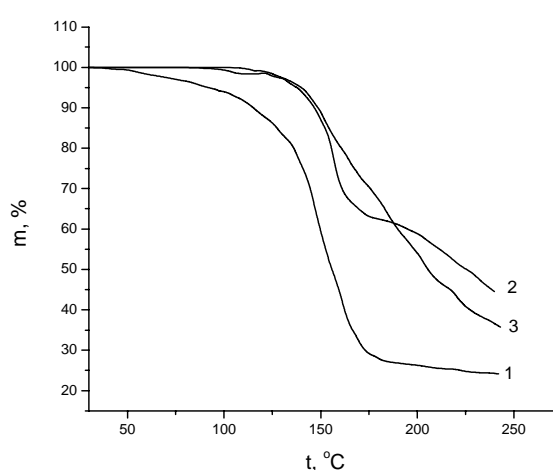


Рис. 2. Термогравіметричні криві (ТГ) зразків  
 1 – CH<sub>3</sub>C<sub>6</sub>H<sub>5</sub>C(CH<sub>3</sub>)<sub>2</sub>-OO-C(CH<sub>3</sub>)<sub>3</sub>  
 2 – HOOC-C<sub>6</sub>H<sub>5</sub>C(CH<sub>3</sub>)<sub>2</sub>-OO-C(CH<sub>3</sub>)<sub>3</sub>  
 3 – (CH<sub>3</sub>)<sub>2</sub>CH-C<sub>6</sub>H<sub>5</sub>C(CH<sub>3</sub>)<sub>2</sub>-OO-C<sub>6</sub>H<sub>5</sub>CH(CH<sub>3</sub>)<sub>2</sub>

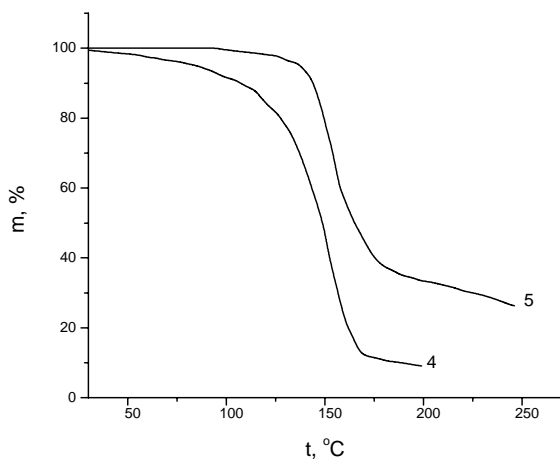


Рис. 3. Термогравіметричні криві (ТГ) зразків  
 5 –  $C_6H_5-CH_2-C(CH_3)_2-OO-C(CH_3)_3$   
 6 –  $(CH_3)_2CH-C_6H_5-CH_2-C(CH_3)_2-OO-C(CH_3)_3$

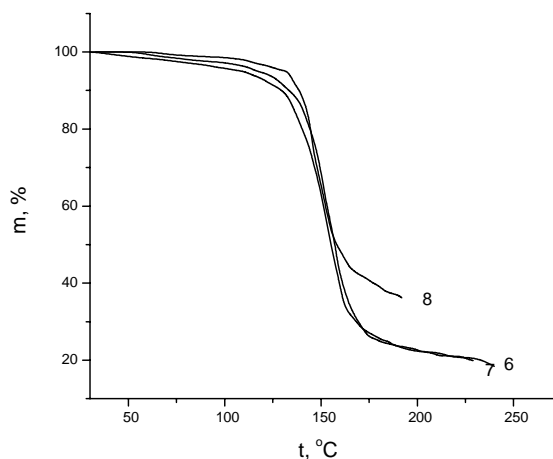


Рис. 4. Термогравіметричні криві (ТГ) зразків  
 6 –  $C_6H_5-CH_2-CH_2-C(CH_3)_2-OO-C(CH_3)_3$   
 7 –  $C_6H_5-CH_2-CH_2-C(CH_3)_2-OO-C(CH_3)_3$   
 8 –  $CH_3C_6H_5-C(CH_3)_2-CH_2-C(CH_3)_2-OO-C(CH_3)_3$

У групі  $\alpha$ -дитретинних аралкільних пероксидів (1,2,3) термічна стійкість визначається впливом функціонального замісника в бензольному ядрі.  $\alpha$ -Пероксид з електроноакцепторним (-COOH) замісником має менше ефективне значення константи швидкості, температура початку деструкції зміщена в область вищих температур, і він характеризується меншою втратою маси на вказаному температурному інтервалі. Біс- $\alpha$ -дитретинний аралкільний пероксид-зразок (3) має найвищу термічну стійкість, що пов'язано з особливістю його будови та механізмом деструкції (рис. 2).

У групі  $\beta$ -віддалених дитретинних пероксидів (4,5) нижча термічна стійкість характерна для пероксидного зразку (4), без функціонального замісника.  $\beta$ -Пероксид (5), в молекулі якого одночасно присутній електронодонорний замісник у бензольному ядрі та електроноакцепторний фенільний замісник в трет-бутильному фрагменті, характеризується порівняно вищою термічною стійкістю (рис. 3.), що підтверджується виглядом кривої ТГ та розрахованими значеннями кінетичних параметрів деструкції зразка. Ці дані добре узгоджуються з одержаними результатами термолізу досліджуваних пероксидів у дихлорбензолі, в яких вміст летких продуктів контролювали за допомогою газорідинної хроматографії. Для  $\beta$ -пероксиду (4), окрім продуктів перетворень трет-бутоксильного радикалу (ацетону та 2-метил-2-пропанолу) виявлено толуол.

У групі  $\gamma$ -дитретинних аралкільних пероксидів (6,7,8) функціонально незаміщений у бензольному ядрі  $\gamma$ -пероксид (6) характеризується найвищою термічною стійкістю і найменшим значенням ефективної константи швидкості. Введення метильних замісників у аліфатичний ланцюг зразків (7, 8) призводить до зниження термічної стійкості  $\gamma$ -пероксидів, що позначається на величині константи швидкості деструкції. Подібність будови  $\gamma$ -пероксидних зразків позначається на близьких між собою значеннях кінетичних параметрів цих сполук та подібності кривих ТГ (рис. 4).

**Висновки.** Отже, на основі отриманих даних дериватографічного дослідження та розрахованих кінетичних параметрів термоокисної деструкції серед  $\alpha$ -,  $\beta$ -,  $\gamma$ -дитретинних функціональних аралкільних дитретинних пероксидів найвищою термічною стійкістю відрізняється найвіддаленіший  $\gamma$ -пероксид. Найнижчу термічну стійкість має  $\beta$ -пероксид, що підтверджено результатами термолізу в розчиннику. У продуктах розкладу алкоксильного радикалу виявлено, крім ацетону та метилового спирту, толуол.

Наявність електроноакцепторного замісника в бензольному ядрі та фенільного замісника в трет-бутильному фрагменті сприяє зростанню стійкості цих пероксидів, що пов'язано з зниженням електронної густини на пероксидній групі та зменшенням ймовірності розпушування кисень-кисневого зв'язку. Введення донорних (метильних) замісників в аліфатичний ланцюг пероксидів збільшує реакційну здатність, що може бути використано під час їх застосування.

1. Гевусь О.И. Синтез и свойства функциональных аралкильных пероксидов: Дис. ... канд. хим. наук // Науч. рук. Пучин В.А., Дикий М.А., – Львов, 1987. – 130 с. 2. Кінаш Н.І., Вострес В.Б. Синтез  $\gamma$ -арилвмісних пероксидів – похідних 2-метилпентану // Вісн. Нац. ун-ту "Львівська політехніка". – 2003. – №461. 3. Кінаш Н.І., Вострес В.Б. Особливості реакції одержання дитретинних  $\gamma$ -арилвмісних пероксидів // Вісн. Нац. ун-ту "Львівська політехніка". – 2005. №529. – С. 124–128. 4. Кінаш Н.І., Гевусь О.І. Вуйцик Л.Б. Синтез  $\alpha$ -трет-Бутилпероксикумінової кислоти // Вісн. Нац. ун-ту "Львівська політехніка". – 2005. №529. – С. 128–130. 5. Особливості алкілування трет-Бутилгідропероксиду арилвмісними спиртами // Вісн. Нац. ун-ту "Львівська політехніка". – 2006. №553. – 89 с. 6. Уэндлант У.У. Термические методы анализа – М.: Химия, 1978. – 526 с. 7. Берг Л.Г. Введение в термографию. – М.: Наука, 1969. – 106 с.